

مطالعه داینوفلازلهای و محیط دیرینه سازند دلیچای در بخش خاوری حوضه رسوی بینالود

محسن علامه^۱ و شیرین سعادتی جعفر آبادی^۲

^۱ استادیار، دانشگاه آزاد اسلامی، واحد مشهد، گروه زمین‌شناسی، مشهد، ایران

^۲ دانشجوی کارشناسی ارشد، دانشگاه آزاد اسلامی، واحد مشهد، گروه زمین‌شناسی، مشهد، ایران

تاریخ پذیرش: ۱۳۹۱/۰۷/۳۰ | تاریخ دریافت: ۱۳۹۱/۰۱/۲۷

چکیده

سازند دلیچای از نهشته‌های دریایی دوره ژوراسیک است که در شمال ایران گسترش جغرافیایی وسیعی دارد. به منظور انجام مطالعات پالینولوژی در بخش خاوری کوههای بینالود رخمنونی از این سازند در برش روستای بار مطالعه شده است. ستبرای این سازند در برش روستای بار ۲۵۵ متر شامل شیل‌های خاکستری تیره است. بر اساس مطالعات انجام شده بر روی ۱۱۲ اسالاید تهیه شده از ۲۸ نمونه برداشت شده از این سازند، مشخص شد که بیشتر نمونه‌ها، حاوی پالینومورف‌ها، بهویژه داینوفلازلهای هاستند، که در مجموع ۵۳ گونه مربوط به ۲۷ جنس از داینوفلازلهای شناسایی شده سن ژوراسیک میانی برای سازند دلیچای در برش روستای بار تعیین شد. بر پایه بررسی سه گروه اصلی فیتوکلاست‌ها، پالینومورف‌های دریایی و مواد آلی بدون ساختمان و نتایج حاصل از مطالعات آماری بر روی فاکتورهای مختلف، محیط رسوی سازند دلیچای در برش مورد مطالعه محیط دریایی باز با ژرفای کم و کم اکسیژن در زمان رسوب گذاری بوده است.

E-mail: allameh0277@mshdiau.ac.ir

کلیدواژه‌ها: پالینومورف، داینوفلازله، سازند دلیچای، بینالود، روستای بار

*نویسنده مسئول: محسن علامه

۱- پیش‌گفتار

رشته کوههای بینالود روند شمال باختری-جنوب خاوری دارند. این رشته کوههای میان صفحه مستحکم توران و خرد قاره ایران مرکزی محاط شده‌اند. از دیدگاه جغرافیایی این ارتفاعات ادامه رشته کوههای البرز به شمار می‌آیند. ولی وجود برخی شbahت‌های رخسارهای و تأثیر چین خوردگی‌ها سبب شده تا بینالود را پهنه‌ای تدریجی میان ایران مرکزی و البرز در نظر نگیری‌ند. این ناحیه با دیگر پهنه‌های ساختاری ایران مرکزی و البرز در دوران پالئوزویک حوضه رسوی واحدی را تشکیل می‌داده و همگی در سکوی ایران مرکزی قرار داشته‌اند (نبوی، ۱۳۵۵).

واحد زمین‌شناسی بینالود در نواحی شمال خاور ایران در بخش جنوبی به گسل میامی یا شاهروド و در حد شمالی به گسل سمنان محدود شده است. گسترش واقعی این پهنه میان نواحی سبزوار و نیشابور تا مشهد است (درویش‌زاده، ۱۳۷۰).

سازند مارنی-آهکی دلیچای با ریخت شناسی به نسبت پست و رنگ خاکستری در تمام دامنه جنوبی رشته کوه البرز میان سازند سیلیسی و آواری شمشک در پایین و سازند آهکی و صخره‌ساز لار در بالا قرار گرفته است. برخهای متعددی از این سازند به دلیل محتوای ماکروفیلی فراوان، به ویژه آمونیت‌ها، تعیین سن شده‌اند (آقاباتی، ۱۳۷۷). در این نوشتار نیز رسوبات سازند دلیچای بر پایه عناصر پالینومورفی بررسی شده‌اند. نمونه‌های برداشت شده از سازند دلیچای در برش روستای بار، دارای پالینومورف هستند و تعداد و تنوع سیست داینوفلازلهای بر دیگر گروههای پالینومورفی برتری دارد. هدف از انجام این مطالعه معرفی و شناسایی جنس و گونه‌های مختلف داینوفلازلهای، تعیین سن سازند دلیچای در برش روستای بار برمبنای داینوفلازلهای، تفسیر پالینوفاسیس‌های موجود بر پایه درصد عناصر پالینولوژیکی، تفسیر محیط رسوی و میزان اکسیژن سازند دلیچای در برش مطالعه است.

۲- روش مطالعه

سازند دلیچای در برش روستای بار در حوضه بینالود به دلیل رخمنون مناسب برای نمونه‌برداری انتخاب و ۲۸ نمونه از برش یادشده برداشت شد. نمونه‌ها مطابق با روش (1998) آماده‌سازی شد. ابتدا نمونه‌ها را خرد کرده و برای از بین بردن ترکیبات کربناتی، به مدت ۲۴ ساعت در اسید کلریدریک ۱۰٪ و برای حذف ترکیبات سیلیکاتی به مدت ۴۸ ساعت در اسید فلوریدریک ۳٪ قرار داده شدند.

۳- راههای دسترسی به برش مورد مطالعه

برش مورد مطالعه در نزدیکی روستای بار در ۶۰ کیلومتری شمال باختری شهر نیشابور در مسیر جاده نیشابور-بار در کنار جاده اصلی روستا و با مختصات جغرافیایی ۵۸°۴۳'۱/۹ طول خاوری و ۳۶°۲۸'۴۹/۵ عرض شمالی قرار گرفته است (شکل ۱).

۴- چینه‌شناسی

رسوبات ژوراسیک یکی از سبیرترین توالی‌های زمین‌شناسی را در ایران تشکیل می‌دهند. سازند دلیچای نشانگر نخستین واحد سنگی از رسوب‌های دریایی ژوراسیک البرز است که به ویژه در دامنه جنوبی این کوههای بروونزد دارد. در این سازند، نوع سنگ‌ها و سنگواره‌ها نشان‌دهنده نهشت در یک محیط دریایی است که با شرایط دریاچه‌ای-مردابی نهشته‌های زیر آن (گروه شمشک) و ردیف‌های کربناتی ستبر لایه رویی (سازند لار) تفاوت آشکار دارد، به گونه‌ای که سازند مارنی دلیچای نقش یک لایه راهنمای زود فرسای را دارد. برش الگوی سازند دلیچای، در پهلوی راست رودخانه دلیچای (پل فردوسی)، در خاور شهرستان دماوند است که حدود ۱۰۷ متر ستبرای دارد ولی این ستبرای ثابت نیست و حتی ممکن است به صفر برسد. در بیشتر نقاط سازند دلیچای از نوع مارن، سنگ آهک‌های مارنی، کمی اسپاری و نازک لایه است که میان لایه‌هایی از شیل‌های مارنی دارد (آقاباتی، ۱۳۸۳). در برش روستای بار سازند دلیچای در زیر سازند لار به صورت تدریجی قرار دارد و مرز آن با سازند زیرین مشخص نیست. سنگ‌شناسی آن به گونه کلی از شیل‌های آهکی خاکستری تیره رنگ با ستبرای ۲۵۵ متر تشکیل شده است (شکل ۲).

۵- پالینولوژی

Feist-Burkhardt & Wille, 1992; Smelror and Below, 1992; Poulsen, 1996; Riding & Thomas, 1997 (Riding et al., 2011). همچنین حضور گونه *Limbodinium absidatum* در نمونه‌های آرژانتین یانگر سن کاللووین پیشین است (Ghsemi-Nejad et al., 2012). همچنین گونه *Tubotuberella apatela* از کاللووین پیشین تا والاژین پیشین گینه نو و باتونین تا والاژین پیشین بریتانیا و گونه *Barbatacysta creberbarbata* از کاللووین پیشین روسیه (Schrank, 2005) گزارش شده است.

با توجه به حضور گونه‌هایی مانند *Ctenidodinium combazii*, *Ctenidodinium continum*, *Ctenidodinium ornatum*, *Ctenidodinium tenellum*, *Dichadogonyaulax sellwoodii* سن باژوپسین - باتونین پسین برای سازند دلیچای در برش طالو واقع در شمال خاوری دامغان در نظر گرفته می‌شود (برومند و قاسمی‌نژاد, ۱۳۸۸). همچنین (Ghsemi-Nejad et al., 2012) راهبند در البرز داینوفلازلهایی با سن ژوراسیک میانی معروفی کرده‌اند که با تعدادی از داینوفلازلهای شناسایی شده سازند دلیچای در برش رستای بار شاہت دارد. مهم‌ترین جنس و گونه‌های مشترک در برش بار و برش راهبند عبارتند از: *Carpathodinium predae*, *Cleistosphaeridium polytrichum*, *Ctenidodinium combazii*, *Ctenidodinium ornatum*, *Cribroperidinium sp.*, *Dichadogonyaulax culmula*, *Dichadogonyaulax sellwoodii*, *Endoscrinium luridum*, *Escharisphaeridia pocockii*, *Gonyaulacysta centriconnata*, *Gonyaulacysta jurassica*, *Gonyaulacysta pectinigera*, *Meiourogonyaulax caytonensis*, *Mendicodinium groenlandicum*, *Nannoceratopsis gracilis*, *Nannoceratopsis pellucida*, *Nannoceratopsis spiculata*, *Pareodinia ceratophora*, *Pareodinia halosa*, *Pareodinia prolongata*, *Rhynchodiniopsis angulosa*, *Rhynchodiniopsis cladophora*, *Sentusidinium sp.*, *Systematophora penicillata*, *Trichodinium scarburghensis*, *Tubotuberella apatela*, *Tubotuberella dangardii*, *Tubotuberella egemenii*, *Valensiella ovulum*, *Valensiella vermiculata*.

بنابراین، سن سازند دلیچای با توجه داینوفلازلهای شناسایی شده در برش رستای بار ژوراسیک میانی تعیین شد (شکل ۲).

۶- پالئوکولوژی

به طور کلی تجمعات پالینومورف‌های دریایی به ویژه داینوفلازلهای و سیله فاکتورهایی مانند عرض جغرافیایی، آب و هوای درجه حرارت، ژرفای آب، جریان‌های دریایی و مواد غذایی و شوری کنترل می‌شوند. (Riding & Hubbard, 1999) داینوفلازلهای را از نظر تنوع و گسترش در شرایط اقلیمی متفاوت به سه گروه اصلی تقسیم کرده‌اند که عبارتند از: گونه‌های آب‌های سرد (Cold Water Taxa) (Glycinae), گونه‌های آب‌های حد واسطه (Intermediate Taxa) و گونه‌های متعلق به آب‌های گرم (Warm Water Taxa) در نمونه‌های مورد مطالعه حضور گونه‌های *Endoscrinium luridum*, *Pareodinia*, *Ctenidodinium halosa*, *Tubotuberella ornatum*, *Dichadogonyaulax sellwoodii*, *Gonyaulacysta centriconata*, *Gonyaulacysta jurassica*, *Nannoceratopsis pellucidae*, *Pareodinia ceratophora*, *Rhynchodiniopsis cladophora* گرم در زمان رسوی گذاری سازند دلیچای در برش مورد مطالعه است. وجود پالینومورف‌های دریایی (داینوفلازلهای پروکسیمیت و آکریتارش‌ها) به همراه اسپور و پولن‌های مربوط به گیاهان خشکی، گویای محیط رسوی دریای نزدیک به ساحل است. (Wall et al., 1977) معتقدند که در محیط‌های

از برش چینه‌شناسی رستای بار ۲۸ نمونه برداشت و سپس ۱۱۲ اسلاید پالینولوژیکی از آنها تهیه شد و از مطالعه آنها در مجموع ۵۳ گونه داینوفلازله متعلق به ۲۷ جنس شناسایی شد (Plate 1-2) که عبارتند از:

Aptedinium sp., *Atopodinium polygonalis*, *Barbatacysta creberbarbata*, *Barbatacysta pilosa*, *Carpathodinium predae*, *Cleistosphaeridium polytrichum*, *Ctenidodinium combazii*, *Ctenidodinium cornigera*, *Ctenidodinium elegantulum*, *Ctenidodinium ornatum*, *Ctenidodinium tenellum*, *Cribroperidinium sp.*, *Dichadogonyaulax culmula*, *Dichadogonyaulax sellwoodii*, *Dingodinium swanense*, *Endoscrinium luridum*, *Endoscrinium sp.*, *Escharisphaeridia enayii*, *Escharisphaeridia pocockii*, *Glossodinium dimorphum*, *Gonyaulacysta centriconnata*, *Gonyaulacysta jurassica*, *Gonyaulacysta pectinigera*, *Liesbergia liesbergensis*, *Limbodinium absidatum*, *Lithodinia bulloidea*, *Lithodinia caytonensis*, *Lithodinia cf. valensii*, *Lithodinia deflandrei*, *Lithodinia jurassica*, *Lithodinia valensii*, *Meiourogonyaulax caytonensis*, *Meiourogonyaulax sloveri*, *Mendicodinium groenlandicum*, *Nannoceratopsis gracilis*, *Nannoceratopsis pellucida*, *Nannoceratopsis spiculata*, *Pareodinia ceratophora*, *Pareodinia groenlandica*, *Pareodinia halosa*, *Pareodinia prolongata*, *Pareodinia psiloperforata*, *Rhynchodiniopsis angulosa*, *Rhynchodiniopsis cladophora*, *Sentusidinium sp.*, *Systematophora penicillata*, *Surculosphaeridium cribrotubiferum*, *Trichodinium scarburghensis*, *Tubotuberella apatela*, *Tubotuberella dangardii*, *Tubotuberella egemenii*, *Valensiella ovulum*, *Valensiella vermiculata*

بیشتر نمونه‌های شناسایی شده، شامل فرم‌های پروکسیمیت و پروکسیموکوریت هستند. سه گونه از داینوفلازلهای شامل *Ctenidodinium combazii*, *Ctenidodinium ornatum*, *Pareodinia certophora* در بخش‌های میانی برش مورد مطالعه فراوانی بسیاری دارد که نشان‌دهنده شرایط بسیار مساعد برای رشد و زیست این جنس و گونه‌ها است.

۷- تعیین سن سازند دلیچای در برش رستای بار

وجود گونه‌های *Atopodinium polygonalis*, *Carpathodinium predae*, *Ctenidodinium combazii*, *Dichadogonyaulax sellwoodii*, *Gonyaulacysta jurassica*, *Nannoceratopsis gracilis* مختلف دنیا مانند انگلستان و... از باژوپسین تا باتونین بالایی گزارش شده‌اند (*Poulsen, 1998*). برخی دیگر از گونه‌های گزارش شده همانند *Ctenidodinium ornatum*, *Escharisphaeridia pocockii*, *Nannoceratopsis pellucida*, *Nannoceratopsis pellucid*, *Pareodinia prolongata*, *Rhynchodiniopsis (Riding et al., 1999)* در سکوی روسیه (*cladophora*, *Tubotuberella dangardii*) از کاللووین گزارش شده‌اند.

وجود گونه *Nannoceratopsis pellucida* به همراه گونه‌های *Gonyaulacysta jurassica*, *Meiourogonyaulax*, *Mendicodinium groenlandicum*, *Pareodinia ceratophora*, *Sentusidinium* and *Tubotuberella dangardii* یانگر سن کاللووین در شمال باختی اروپا و مناطق مجاور است (*Riding, 1982; 1987; Berger, 1986; Smelror, 1988a;b; Prauss, 1989;*)

بررسی شود. بررسی فاکتور لایلیتی در سازند دلیچای در برش مورد مطالعه نشان می‌دهد که میزان ماسوالهای قهوهای به ماسوالهای کدر پایین است و پایین بودن این فاکتور یانگر شرایط اکسیدان در محیط است (شکل ۳ و جداول ۲ و ۱).

۳-۶. ضرب K

شمارش پالینومورف‌های دریایی ME (بهویژه داینوفلازله) و خشکی CE و تعیین نسبت CE/ME به عنوان ضرب K یعنی نسبت پالینومورف‌های خشکی به دریایی در نظر گرفته می‌شود که هرچه میزان K بیشتر باشد محیط به خط ساحل نزدیک تر است. بررسی ضرب K در سازند دلیچای در برش مورد مطالعه نشان می‌دهد که محیط رسوبی سازند یک محیط نزدیک به خط ساحلی است (شکل ۳ و جداول ۲ و ۱).

۴-۶. شناخت و تعیین نسبت مواد آلی بدون ساختمان شفاف (T) به مواد SOM

باکتری‌های بی‌هوایی در محیط فاقد اکسیژن کمی پایین‌تر از سطح رسوب SOM شفاف را ایجاد می‌کنند و در اثر شرایط احیایی مواد آلی را به نیترات و سولفات تجزیه کرده و در نتیجه نیتروژن، دی‌اکسید کربن، آب و متان تولید می‌کنند؛ از این رو در شرایطی که آهنگ رسوب گذاری بالا باشد باکتری‌ها قادر به تجزیه و تخریب مواد آلی نخواهند بود، بنابراین شناسنی پیشتری برای حفظ شدگی مواد آلی وجود خواهد داشت.

باکتری‌های هوایی با اکسیژن موجود در آب مواد آلی را تجزیه می‌کنند. اگر میزان تجزیه بالا باشد مواد آلی تمام اکسیژن و هیدروژن خود را از دست می‌دهد و فقط مقدار کمی کربن باقی می‌ماند و به همین دلیل SOM رنگ تیره پیدا می‌کند. با توجه به اینکه میزان SOM شفاف شرایط فاقد اکسیژن را نشان می‌دهد و SOM تیره بیانگر شرایط اکسیژن دار است، اندازه گیری نسبت ایها می‌تواند برآورده از میزان اکسیژن در زمان گذشته باشد. چنانچه این نسبت بیشتر از یک باشد نشان دهنده شرایط فاقد اکسیژن است و بالعکس (Gorin & Steffan, 1991). بررسی این فاکتور در نمونه‌های سازند دلیچای در برش مورد مطالعه نشان می‌دهد که این نسبت در طول سازند کمتر از یک است و نشان دهنده محیط اکسیژن دار است. به گونه‌ای کلی از قاعده به سمت رأس سازند، اکسیژن محیط به طور چشمگیری کاهش پیدا می‌کند (شکل ۳ و جداول ۲ و ۱).

۵-۶. نسبت SOM شفاف به پالینومورف دریایی (PM) و SOM تیره به پالینومورف دریایی

اگر در محیط ابیاض رسوبات، اکسیژن و نیز سرعت رسوب گذاری کم باشد، سبب عدم حفظ شدگی پالینومورف‌ها و تبدیل آنها به SOM شفاف می‌شود ولی چنانچه رسوب گذاری پایین و اکسیژن بالا باشد، پالینومورف‌های دریایی به SOM تیره تغییر می‌یابند. پیشترین حفظ شدگی پالینومورف‌ها بهویژه داینوفلازله‌ها در شرایط فاقد اکسیژن و آهنگ رسوب گذاری بالاست. بنابراین افزایش SOM شفاف به پالینومورف‌های دریایی گویای شرایط بسیار کم اکسیژن تا افق اکسیژن و آهنگ رسوب گذاری پایین است و افزایش SOM تیره به پالینومورف‌های دریایی معرف شرایط اکسیژن دار و آهنگ رسوب گذاری پایین است. بررسی‌های انجام شده بر روی سازند دلیچای نشان می‌دهد نسبت SOM تیره به پالینومورف‌های دریایی بالا است که یانگر شرایط اکسیژن دار محیط رسوب گذاری است (شکل ۳ و جداول ۲ و ۱).

۶-۶. نسبت پالینوماسوالهای کدر هم بعد (A) به پالینوماسوالهای تیغه‌ای (B)

این فاکتور در کنار فاکتور لایلیتی می‌تواند نشان دهنده انرژی محیط باشد. وجود درصد بالای از ماسوالهای نشان دهنده محیط کم ژرف و نزدیک به ساحل است. از سوی دیگر، ماسوالهای به نسبت درشت و هم‌بعد نشانگر جایه‌جایی کم هستند. ماسوالهای قهوهای وابسته به گیاهان خشکی بوده و نشان دهنده محیط نزدیک

دریایی پروکسیمال، تنوع و فراوانی گونه‌های داینوفلازله کم می‌شود. همچنین (Vozzhenkova, 1965) اثبات کرده است که سیستم‌های پروکسیمات (Shore Line) در طول خط ساحلی (Proximate Cyst) به سیستم‌های کوریت (Chorate Cyst) دارند. از سویی حضور به نسبت فراوان داینوسیست‌های پروکسیمات گویای ژرفای کم حوضه رسوب گذاری است (Wheeler & Sargent, 1990). همان‌گونه که در بحث پالینولوژی بیان شد پیشتر داینوفلازله‌های موجود در اسلامیدهای مطالعه شده، شامل فرم‌های پروکسیمات و پروکسیموکوریت هستند که محیط کم ژرف در زمان رسوب گذاری سازند دلیچای در برش رستای بار را تأیید می‌کنند.

از آنجا که آکریتارش‌ها موجودات اوتوتروف بوده‌اند دما و نور در زندگی آنها نقش مؤثر داشته است (Traverse, 2007)، بنابراین حضور آنها در نمونه‌های مورد مطالعه نشان دهنده دریایی کم ژرف با مقدار نور و دمای لازم است. حضور آکریتارش (*Micrhystridium*) در اسلامیدهای مورد مطالعه نشانگر ژرفای کم حوضه رسوب گذاری است.

۶-۱. داینوفلازله‌ها و تعیین محیط

مهم‌ترین اجزای آلی موجود در اسلامیدهای پالینولوژیکی که برای تعیین محیط رسوبی مورد استفاده قرار می‌گیرند به دو بخش زیر تقسیم می‌شوند:

- ۱- بخش حمل شده (Allochthonous): شامل انواع ماسوالهای است که اندازه، رنگ، فراوانی و حفظ شدگی آنها در تعیین محیط‌های دیرینه بسیار مهم است. این عناصر از خارج به درون حوضه رسوبی حمل شده‌اند و شامل:

پالینوماسوال نوع ۱ (PM1) یا مواد آلی نارنجی - قهوهای تیره، دارای ساختمان یا بدون ساختمان. پالینوماسوال نوع ۲ (PM2) یا مواد آلی به شکل نامنظم و قهوهای نارنجی.

پالینوماسوال نوع ۳ (PM3) یا مواد آلی کم رنگ و به نسبت نازک و نامنظم و عموماً با ساختمان اولیه. پالینوماسوال نوع ۴ (PM4) یا قطعات سیاه یا به نسبت سیاه هم بعد و تیغه‌ای که نوع تیغه‌ای آن ویژگی شناوری بسیار زیادی داشته و مسافت زیادی را طی می‌کند. اسپورها، اسپور قارچ‌ها، بولن‌های بدون باله و بولن‌های دو باله نیز جزو این دسته هستند.

۲- بخش بر جا (Autochthonous) شامل داینوسیست‌ها، آکریتارش‌ها، جلبک‌های سبز دریایی و پوسته‌های داخلی ریزروزنبران و مواد آلی بدون ساختمان است (Van der Zwan, 1990).

برای تعیین محیط توسط عناصر پالینولوژیکی ابتدا به طور تصادفی ۴۰۰ ذره از عناصر پالینولوژیکی موجود در هر اسلامید شمارش و سپس درصد هر کدام از آنها تعیین شده است (جدول ۱). فاکتورهای دیگری نیز در تعیین چگونگی محیط دیرینه مهم هستند که از میان آنها می‌توان به موارد زیر اشاره کرد:

۶-۲. فاکتور تغییرپذیری (lability)

ماسوالهای قهوهای وابسته به گیاهان خشکی بوده و نشان دهنده محیط نزدیک به ساحل هستند و ماسوالهای کدر دارای رنگ تیره بوده و یک محیط نیمه اکسیک - نیمه آرام را نشان می‌دهند و در محیط دور از ساحل زیادتر می‌شوند. فاکتور لایلیتی حاصل نسبت پالینوماسوالهای قهوهای به پالینوماسوالهای کدر است، به این ترتیب که هر چه نسبت ماسوالهای قهوهای بر کدر بیشتر باشد فاکتور تغییرپذیری بیشتر خواهد بود و حفظ شدگی خوبی را نشان می‌دهد، اما امکان دارد ماسوالهای کدر به روش دیگری نیز وارد حوضه شوند. آنها ممکن است دوباره حمل شده و یا ممکن است در اثر افزایش حرارت در ساحل به وجود آمده و وارد حوضه شده باشند. به منظور افزایش اطمینان و دقت، فاکتور لایلیتی باید در کنار دیگر شرایط و فاکتورها،

نمونه های ۱، ۲، ۳، ۵، ۶ و ۱۷ در رخساره IV قرار می گیرند که محیط گذر از شلف به حوضه (Shelf to Basin Transition) را نشان می دهد و نمونه های ۴، ۷، ۸، ۹، ۱۰، ۱۱، ۱۲، ۱۳، ۱۶، ۱۹، ۲۱، ۲۳، ۲۴، ۲۵ و ۲۶ در رخساره II قرار می گیرند که نشان دهنده محیط رسوی فاقد اکسیژن تا کم اکسیژن حاشیه حوضه (Marginal Dysoxic-Anoxic Basin) است. نمونه های ۸، ۱۴، ۱۵، ۱۸، ۲۰، ۲۲، ۲۴ و ۲۷ در رخساره I قرار می گیرند که بیانگر بخشی از فلات قاره یا حوضه خلیلی نزدیک به ساحل (Highly Proximal Shelf or Basn) است (شکل ۴). با توجه به نتایج به دست آمده به طور کلی محیط رسوی سازند دلیچای در زمان انبیاش رسوبات، محیط ساحلی کم ژرفتا بخشی از دریای باز است.

۷- نتیجه گیری

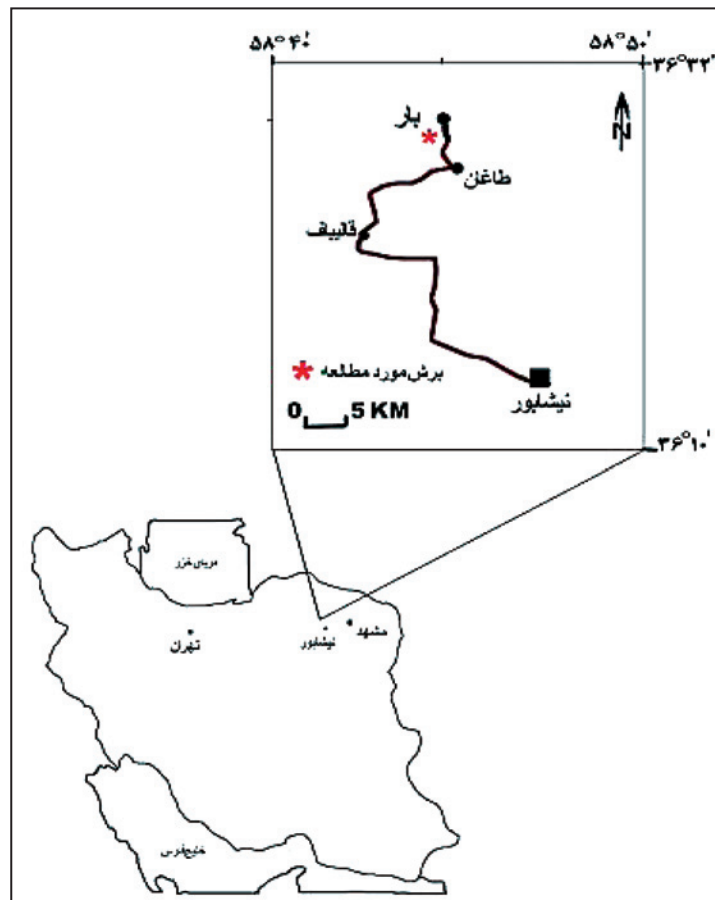
با مطالعه پالینومorfهای موجود در برش روستایی بار تعداد ۲۷ جنس و ۵۳ گونه داینوفلاژله شناسایی شد و سن سازند دلیچای در برش مورد مطالعه ژوراسیک میانی تعیین شد. محیط رسوی سازند دلیچای بر پایه نمودار سه گانه (Tyson 1995) محیط ساحلی کم ژرفتا بخشی از دریای باز است که با توجه به محتویات اسلامیدهای پالینولوژیکی برای سازند دلیچای ۳ پالینوفاسیس پیشنهاد شده است. همچنین وجود SOM تیره و پوسته آلی روزنبران میکروسکوپی نشان دهنده شرایط هوایی است که نبود آنها در برخی نمونه ها شرایط تناوب محیط اکسیژن را در توالی رسوبات این سازند نشان می دهد. وجود بدنه قارچ در اسلامیدهای موجود گویای وجود آب و هوای گرم در زمان انبیاش رسوبات است. محیط رسوی گذاری سازند دلیچای در این برش با توجه به عناصر پالینولوژیکی و فاکتور K و دیگر فاکتورهایی که بیان شد در شرایط اکسیژن به نسبت بالا و آهنگ رسوی گذاری پایین تشکیل شده است.

ساحل هستند. ماسه ای های کدر می توانند محیط نیمه اکسیژن - نیمه آرام را نشان دهند و در محیط دور از ساحل زیاد می شوند (Waveren & Visscher, 1994). در بررسی پالینوماسه ای های کدر هم بعد به پالینوماسه ای های کدر تیغه ای شکل، به طور کلی اندازه ماسه ای ها متوسط تا درشت است که بیشتر از نوع چهار و هم بعد هستند و جابه جایی کم و محیط ساحلی را نشان می دهند (شکل ۳ و جدول های ۲ و ۱).

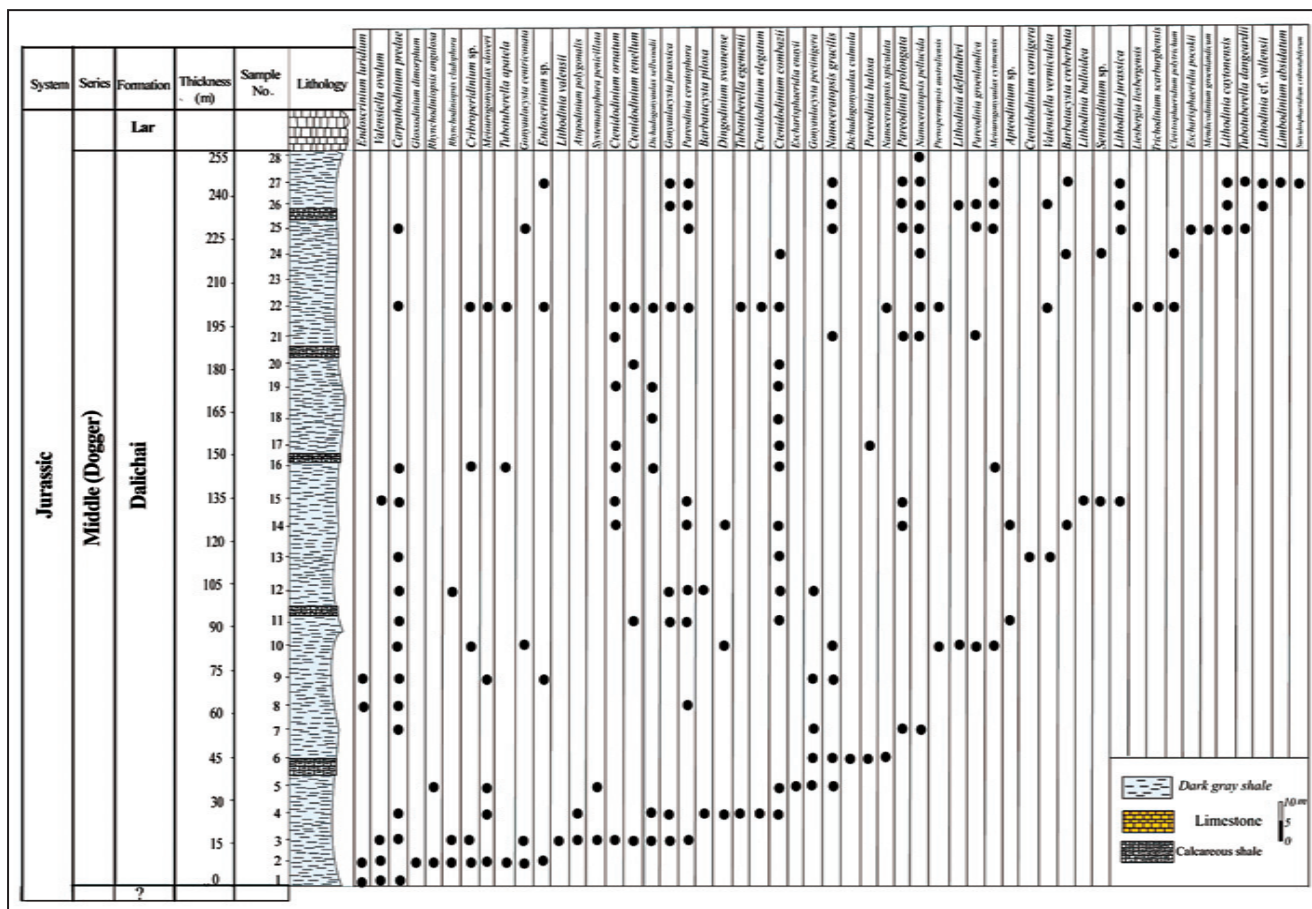
در بیشتر نمونه ها آستر آلی روزنبران (Foraminiferal Test Lining) دیده می شود که تأیید کننده شرایط اکسیژن دار محیط است. همچنین مقدار درصد مواد آلی بدون ساختمن بسیار کم است. وجود بدنه های قارچ (Fungal Body) در تعدادی از نمونه های سازند تأیید کننده شرایط محیطی گرم در زمان رسوی گذاری است. همچنین وجود اسپور و پولن ها بیانگر محیط کم ژرفای حاشیه ساحل است. مجموعه عوامل و فاکتورهای مورد بحث نشان می دهد که به طور کلی محیط کم ژرف - ساحلی است و در شرایط اکسیژن به نسبت زمان رسوی گذاری پایین تشکیل شده است.

۷-۶. استفاده از نمودار سه گانه قایسون برای تعیین محیط رسوی سازند دلیچای

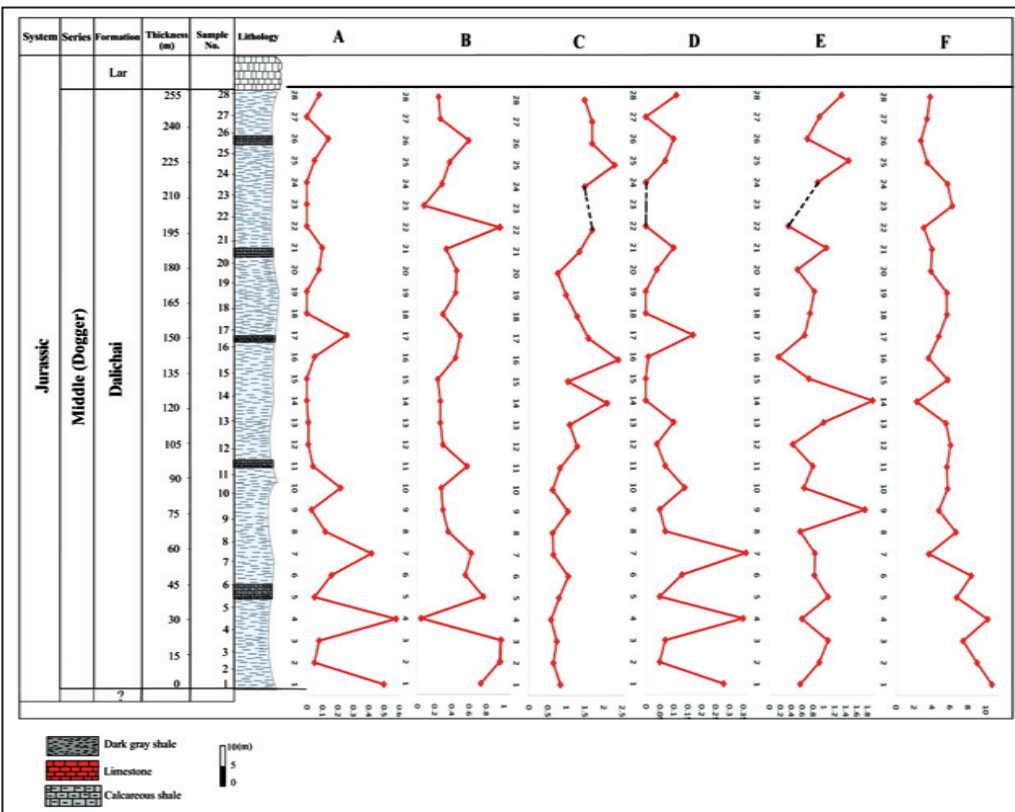
برای تعیین محیط رسوی سازند دلیچای افزون بر موارد بالا از نمودار سه گانه (Tyson 1995) استفاده شد. اجزای مورد استفاده در این نمودار شامل مواد آلی بدون ساختمن (SOM)، فیتوکلاست ها (Phytoclast(PM)) و پالینومorf های دریابی (Marine Palynomorph) هستند که پیش تر شمارش شده اند. با توجه به درصد مواد آلی بدون ساختمن، فیتوکلاست و پالینومorf ها، نمودار سه گانه (Tyson 1995) برای سازند دلیچای در برش روستایی بار به صورت زیر است:



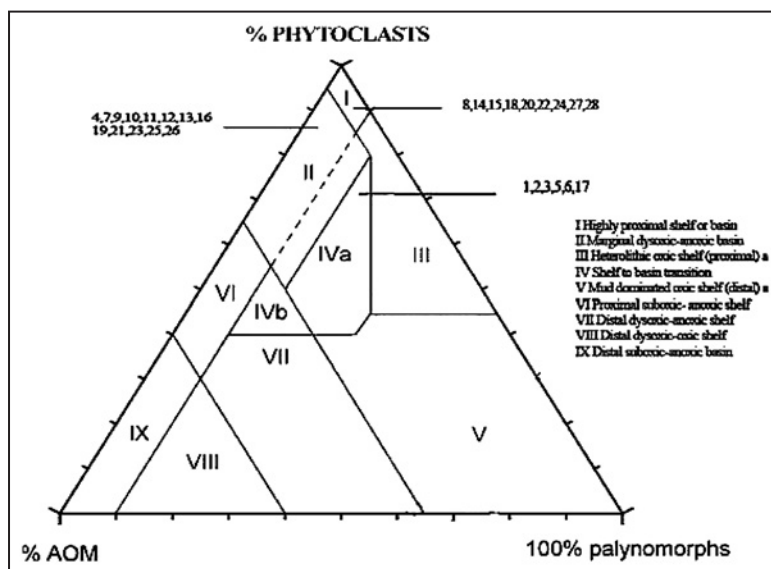
شکل ۱- نقشه موقعیت جغرافیایی و راه های دسترسی به برش مورد مطالعه.



شکل ۲- گسترش چینه‌شناسی داینوپلازمه‌های شناسایی شده سازند دلیچای در برش روتای بار.



شکل ۳- نمایش نمودارهای A: نسبت روشن به SOM تیره؛ B: نسبت پالینوماسرال‌های قهوه‌ای به پالینوماسرال‌های کدر؛ C: نسبت پالینومورف‌های خشکی به SOM؛ D: نسبت پالینومورف‌های دریابی؛ E: نسبت روشن به پالینومورف‌های دریابی؛ F: نسبت پالینومورف‌های دریابی به پالینوماسرال‌های کدر هم بعد به پالینوماسرال‌های کدر تیغه‌ای.



شکل ۴- نمایش نمونه‌های سازند دلیچای در برش روستای بار روی نمودار سه‌گانه (Tyson, 1995) به منظور تعیین محیط رسوی.

جدول ۱- درصد فراوانی عناصر پالینولوژیکی در سازند دلیچای در برش روستای بار. (Sample No.= شماره نمونه، =PM₄(A)=پالینومورف دریابی، =PM₂=پالینوماسرال نوع ۱، =PM₃=پالینوماسرال نوع ۳، =PM₄(B)=پالینوماسرال نوع ۲، =PM₁=پالینوماسرال نوع ۴ هم بعد، =SOM(OP)=مواد آلتی بدون ساختمان روشن، =SOM(T)=Spore & Pollen=اسپور و پولن).

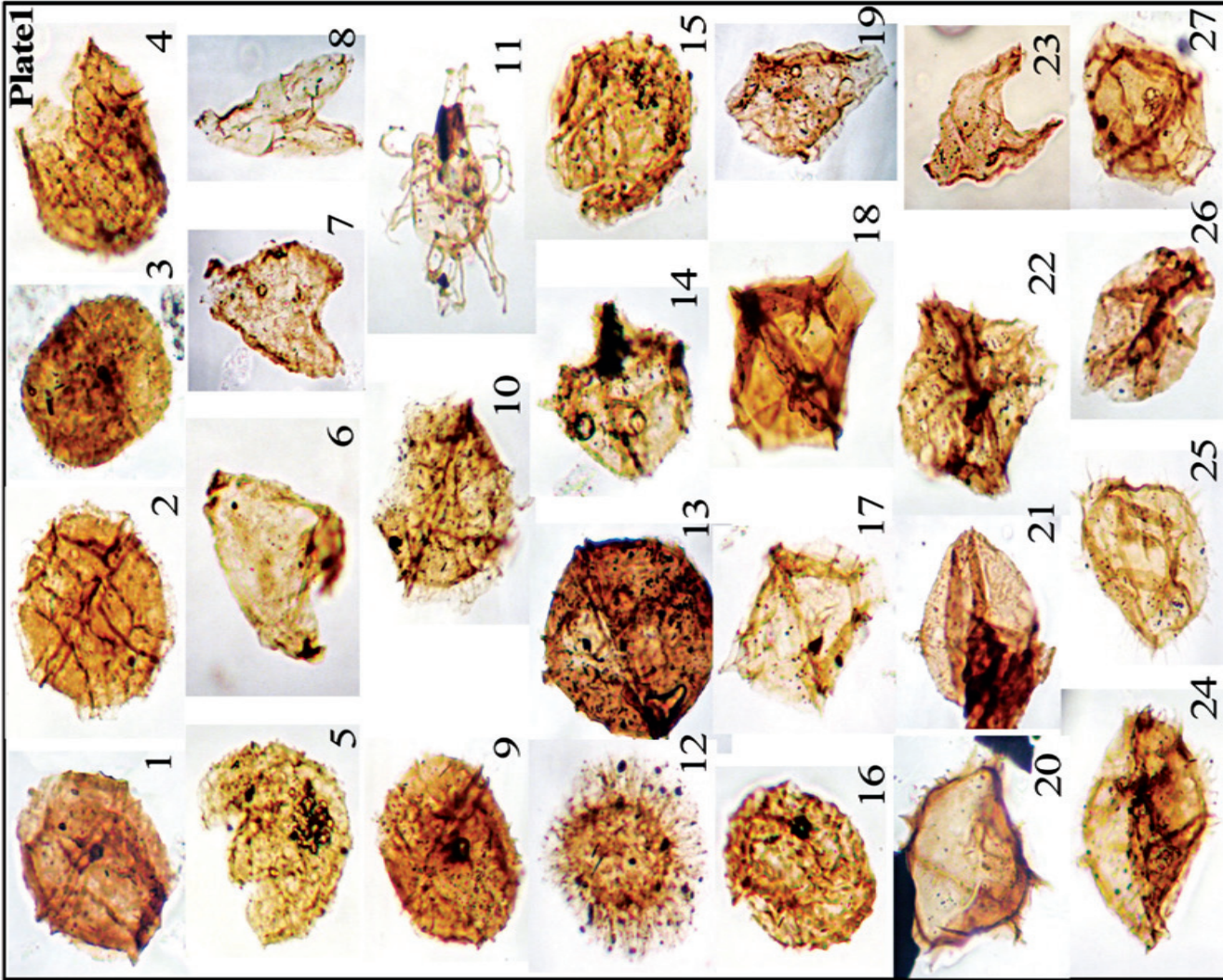
Sample No.	PM ₄ (A)	تیغه‌ای PM ₄ (B)	PM ₃	PM ₂	PM ₁	SOM(OP)	SOM(T)	MP	Spore & Pollen
۲۸	۵۷/۵	۱۵	۰/۵	۷	۱۱	۳	۰/۲۵	۲/۲۵	۳/۵
۲۷	۵۳/۲۵	۱۵/۲۵	۰/۵	۷/۵	۱۰/۵	۳/۲۵	۰	۳/۵	۶/۲۵
۲۶	۳۸	۱۳/۵	۱	۱۴	۱۶	۳/۵	۰/۵	۵	۸/۵
۲۵	۴۷/۵	۱۳/۵	۰/۲۵	۴/۵	۱۸/۵	۴/۷۵	۰/۲۵	۳/۲۵	۷/۵
۲۴	۵۵	۹/۵	۰	۴	۱۵	۴/۲۵	۰	۴/۷۵	۷/۵
۲۳	۷۲/۵	۱۱/۵	۰/۲۵	۱	۵/۵	۸	۰	۰	۱/۲۵
۲۲	۳۴/۵	۱۱	۳/۵	۲۳/۵	۱۶/۷۵	۱/۲۵	۰	۳/۵	۴
۲۱	۴۹/۵	۱۲/۲۵	۱/۲۵	۶/۷۵	۱۳/۵	۵	۰/۵	۴/۷۵	۶/۵
۲۰	۴۷	۱۲	۰/۵	۹/۲۵	۱۷/۷۵	۳	۰/۲۵	۵/۷۵	۴/۵
۱۹	۴۸/۵	۸/۵	۱	۱۱	۱۴	۵	۰	۶	۶
۱۸	۵۷	۱۰	۰/۲۵	۵/۵	۱۴/۷۵	۳	۰	۴	۵/۵
۱۷	۴۱/۵	۸/۵	۲/۵	۱۰	۱۲/۵	۴/۷۵	۱/۲۵	۷/۲۵	۱۱/۷۵
۱۶	۴۵/۷۵	۱۲/۵	۰/۷۵	۱۰/۲۵	۱۵/۵	۴/۷۵	۰/۲۵	۳	۷/۲۵
۱۵	۵۹/۵	۱۰/۲۵	۰/۵	۶/۵	۱۰	۳/۵	۰	۴/۷۵	۵
۱۴	۴۸/۲۵	۲۰/۵	۰	۳/۲۵	۱۵/۵	۴/۷۵	۰	۲/۵	۵/۲۵
۱۳	۵۶	۱۰	۰/۲۵	۵/۷۵	۱۲	۵	۰/۵	۵	۵/۵
۱۲	۵۵	۹	۱/۵	۶/۵	۱۱/۵	۲/۵	۰/۲۵	۵/۷۵	۸
۱۱	۴۴/۲۵	۷/۷۵	۰/۷۵	۱۴/۵	۱۵	۵/۲۵	۰/۵	۶/۵	۵/۵
۱۰	۵۵	۹/۵	۰/۵	۵	۱۳	۴/۵	۱	۷	۴/۵
۹	۵۳	۱۱	۰/۵	۷	۱۲	۷/۵	۰/۲۵	۴/۲۵	۴/۵
۸	۵۸/۷۵	۸/۷۵	۱/۲۵	۱۰	۱۳/۲۵	۲	۰/۲۵	۳/۵	۲/۲۵
۷	۳۶/۷۵	۹/۷۵	۲/۲۵	۱۲	۱۵/۵	۷	۳	۸/۲۸	۵/۵
۶	۴۴/۲۵	۵/۲۵	۰/۷۵	۱۰	۱۷	۶/۲۵	۱	۷/۵	۸
۵	۳۵/۷۵	۵/۲۵	۲/۵	۱۲/۲۵	۱۷	۱۰	۰/۵	۹/۲۵	۷/۵
۴	۵۱/۲۵	۵	۲/۲۵	۱۰	۱۳/۵	۴/۲۵	۲/۵	۷	۴/۲۵
۳	۳۰	۴	۰/۲۵	۱۰/۷۵	۱۷	۱۲/۲۵	۱	۱۱/۲۵	۸/۵
۲	۳۴	۲/۷۵	۲/۲۵	۱۱/۷۵	۲۲/۵	۹	۰/۵	۹/۷۵	۶/۵
۱	۳۷/۵	۲/۵	۶	۱۱/۵	۱۳	۶	۳	۱۰/۵	۹

جدول ۲ - فراوانی (بر حسب درصد) اسپورها، پولن‌ها و داینوفلازهای در سازند دلیچای در برش روستای بار.

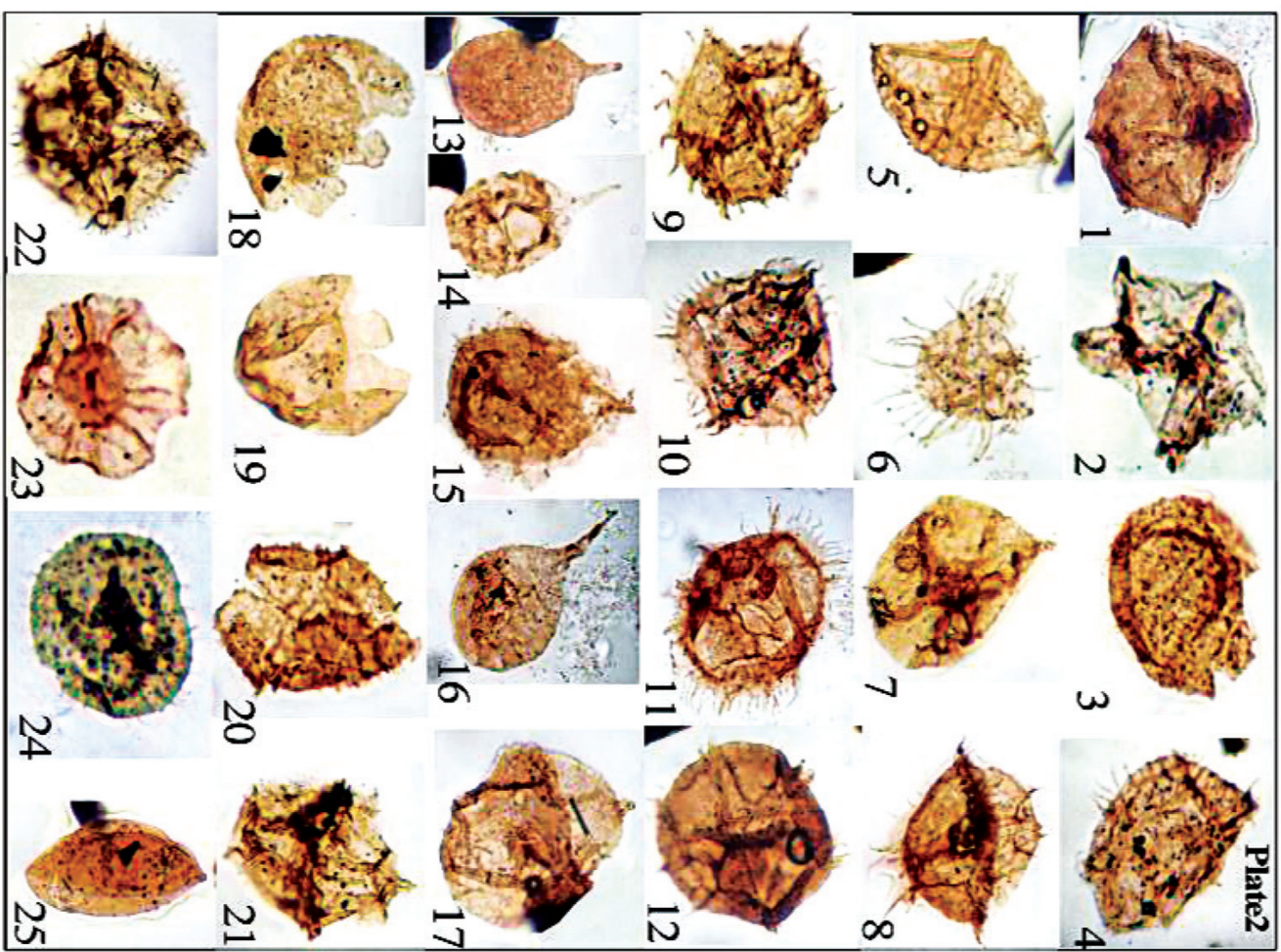
.V: Very abundant (>25% of the whole palynomorph content), A: abundant(>10-25%), C: common(>5-10%), U: uncommon(1-5%), R: rare(<1%)

Species	Sample No.	1	2	3	4	5	6	7	8	9	10	11	12	13	14	15	16	17	18	19	20	21	22	23	24	25	26	27	28
<i>Apteodinium</i> sp.											R		R																
<i>Atopodinium polygonalis</i>				U	U																								
<i>Barbatacystis creberbarbata</i>														R											U			R	
<i>Barbatacystis pilosa</i>						U							U																
<i>Carpathodinium predae</i>	R		U	A			U	R	C	U	U	C	U		C	C							R			R			
<i>Cleistosphaeridium polytrichum</i>																									R		U		
<i>Ctenidodinium combazii</i>				U	U						U	C	U	U		U	R	U	U	A	V								
<i>Ctenidodinium cornigera</i>													U																
<i>Ctenidodinium elegantulum</i>				U																					U				
<i>Ctenidodinium ornatum</i>			U											U	C	R	R	C	C	U									
<i>Ctenidodinium tenellum</i>		U									U									U		C							
<i>Cribroperidinium</i> sp.	U	U							U						U									R					
<i>Dichadogonyaulax culmula</i>					R																								
<i>Dichadogonyaulax sellwoodii</i>			U	R												U	C	U	V										
<i>Dingodinium swanense</i>			C						U				R																
<i>Endoscrinium luridum</i>	R	U						R	R																				
<i>Endoscrinium</i> sp.	U								U												U			R					
<i>Escharisphaeridia enayii</i>				R																									
<i>Escharisphaeridia pocockii</i>																									R				
<i>Glossodinium dinorphum</i>	R																												
<i>Gonyaulacysta centriconnata</i>	U	U								U														C					
<i>Gonyaulacysta jurassica</i>		C	U							U	U										U			U	U				
<i>Gonyaulacysta pectinigera</i>				U	U	R		R			U																		
<i>Liesbergia liesbergensis</i>																					R								
<i>Limbodynium absidatum</i>															R														R
<i>Lithodinia bulloidea</i>																R													
<i>Lithodinia caytonensis</i>																									U	U	A		
<i>Lithodinia cf.valensii</i>																									U	R			
<i>Lithodinia deflandrei</i>							R																		U				
<i>Lithodinia jurassica</i>															U									U	C	U			
<i>Lithodinia valensii</i>		U																											
<i>Meiourogonyaulax caytonensis</i>									U							U								C	A	C			
<i>Meiourogonyaulax sloveri</i>	A	C	U						U												R								
<i>Mendicodinium groenlandicum</i>																									R				
<i>Nannoceratopsis gracilis</i>				R	U				U	U														U	C	A	U		
<i>Nannoceratopsis pellucida</i>					U																A	C	U	C	V	U	R		
<i>Nannoceratopsis spiculata</i>				R																C									
<i>Pareodinia ceratophora</i>		U					U			U	C		C	V						U			U		U	C	U		
<i>Pareodinia groenlandica</i>								R												U									
<i>Pareodinia halosa</i>						U														U									
<i>Pareodinia prolongata</i>						U									U	R				U			U		U	U	U		
<i>Pareodinia psiloperforata</i>							R														U								
<i>Rhynchodiniopsis angulosa</i>	U		R																										
<i>Rhynchodiniopsis cladophora</i>	R	U												U															
<i>Sentusidinium</i> sp.														R											R				
<i>Systematophora penicillata</i>			R		R																								
<i>Surculosphecia erididi</i>																													R
<i>Trichodinium scarburghensis</i>																									R				
<i>Tubotuberella apatela</i>	U																U							R					
<i>Tubotuberella dangeardii</i>																										U	R		
<i>Tubotuberella egemenii</i>					R																C								
<i>Valensiella ovulum</i>	U	A	U												C					U					R				
<i>Valensiella vermiculata</i>													U								U				R				

- Fig.1. *Lithodinia bulboidae* ((Cookson & Eisenack, 1960b) Gocht, 1976) Fig.2. *Lithodinia caytonensis* (Sarjeant 1959) Gocht 1976) Fig.3.*Lithodinia deflandrei* ((Sarjeant 1968) Gocht 1976) Fig.4-*Lithodinia jurassica* (Eisenack, 1935) Fig.5-*Lithodinia valensii* ((Sarjeant 1966b) Gocht 1976) Fig.6-*Nannoceratopsis gracilis* ((Alberti 1961 emend. Evitt 1962) Fig.7-*Nannoceratopsis spiculata* (Stover 1966) Fig.8-*Nannoceratopsis pellucida* (Deflandre 1938) Fig.9-*Meiurogonyaulax cytonensis* (Sarjeant 1959) Sarjeant 1969) Fig.10-*Meiurogonyaulax stoveri* (Sarjeant 1966) Fig.11- *Surculosphaeridium cribrotubiferum* ((Sarjeant 1960) Davey et al. 1966) Fig.12-*Systematophora penicillata* ((Ehrenberg 1843) Sarjeant 1980) Fig.13-*Rhynchodiniopsis angulosa* ((Grimm 1970) Courtinat 1989) Fig.14-*Rhynchodiniopsis cladophora*((Deflandre 1938) below 1981) Fig.15-*Valensiella ovulum* (Deflandre 1947) Eisenack 1963) Fig.16-*Valensiella verniculata* (Gocht 1970) Fig.17-*Tubotuberella apatela* ((Cookson and Eisenack 1960) Ioannides et al. 1977) Fig.18-*Tubotuberella dangeardii* ((Sarjeant 1968) Stover and Evitt 1978 emend. Sarjeant 1982) Fig.19-*Tubotuberella egenumii* ((Deflandre 1938) Stover & Evitt 1978) Fig.20-*Limboodium absidatum* ((Drugg 1978) Ridings 1987) Fig.21-*Liesbergia liesbergensis* (Berger 1986) Fig.22-*Glossodium dinorphum* (Ioannides et al. 1977) Fig.23-*Nannoceratopsis pellucida* (Deflandre 1938) Fig.24-*Dichadogonyaulax culmula* ((Norris 1965) Loeblich and Loeblich 1968) Fig.25-*Dichadogonyaulax selfwoodii* ((Sarjeant 1975) Stover and Evitt 1978) Fig.26-*Dingodinium swanense* (Stover and Helby 1987a) Fig.27-*Endoscrinium luridum* (Deflandre 1938) Gocht 1970).

Plate1


- Fig.1-*Aptoeodinium* sp. Fig.2- *Atopodinium polygonalis*
 (Beju 1983) Fig.3-*Barbatacysta creberbarbata*
 (Erkmen & Sarjeant 1980) Fig.4-*Dichadogonyvulax*
cultula ((Norris 1965) Loeblich & Loeblich
 1968) Fig.5- *Carpothedinium predua* (Beju 1971)
 Fig.6-*Cleistosphaeridium polyrrichum* (Valensi 1947)
 Fig.7-*Cribroperidinium* sp. Fig.8-*Cteniodinium*
combazii (Dupin 1968) Fig.9-*Cteniodinium cornigera*
 (Valensi 1953) Fig.10- *Cteniodinium elegantulum*
 (Milioud 1969) Fig.11- *Cteniodinium ornatum*
 (Eisenack 1935) Deflandre 1938) Fig.12-*Cteniodinium*
tenellum (Deflandre 1939a) Fig.13-*Pareodinia ceratophora*
 (Deflandre 1947) Fig.14-*Pareodinia groenlandica*
 (Sarjeant 1972) Fig.15-*Pareodinia halosa* ((Filatoff
 1975) Prauss 1989) Fig.16-*Pareodinia prolongata*
 (Sarjeant 1959) Fig.17-*Trichodinium scarburghensis*
 (Sarjeant 1964) Williams et al. 1993)
 Fig.18-*Escharisphaeridia enayii* (Courtinat, 1989)
 Fig.19-*Escharisphaeridia pocockii* (Sarjeant 1968)
 Erkmen and Sarjeant 1980) Fig.20- *Gonyaulacysta*
centricornata (Riding 1983) Fig.21-*Gonyaulacysta jurassica*
 ((Deflandre 1938) Norris and Sarjeant 1965)
 Fig.22-*Gonyaulacysta pectinigera* ((Gocht
 1970) Fensome 1979) Fig.23- *Pterospermopsis*
australiensis (Deflandre & Cookson 1955)
 Fig.24-*Senusidinium* sp. Fig.25-*Mendicodium*
groenlandicum (Pocock & Sarjeant 1972) Davey 1979).



کتابنگاری

- آقاباتی، س.ع، ۱۳۷۷- چینه‌شناسی ژوراسیک ایران ۱ و ۲، سازمان زمین‌شناسی کشور، شماره ۷۴۶، ۶۵.
- آقاباتی، س.ع، ۱۳۸۳- زمین‌شناسی ایران، سازمان زمین‌شناسی و اکتشافات معدنی کشور، شماره ۶۰۶.
- برونم، ز. و قاسمی نژاد، ا.، ۱۳۸۸- مطالعه داینوفلازلهای و پالیتوزوناسیون سازند دلیچای در برش طالو، شمال خاوری دامغان، مجموعه مقالات سومین همایش انجمن دیرینه‌شناسی ایران، ۱-۳۰ خرداد ۱۳۸۸، دانشگاه فردوسی مشهد، ص. ۵۴-۵۸.
- درویش‌زاده، ع.، ۱۳۷۰- زمین‌شناسی ایران، انتشارات امیرکبیر، ۹۰۱.
- نبی، م.ح، ۱۳۵۵- دیاچه‌ای بر زمین‌شناسی ایران، وزارت صنایع و معادن، سازمان زمین‌شناسی کشور، ۱۰۹.

References

- Berger, J. P., 1986- Dinoflagellates of the Callovian-Oxfordian boundary of the "Liesberg-Dorf" quarry (Berner Jura, Switzerland). Neues Jahrbuch für Geologie und Paläontologie Abhandlungen 172(3): 331-355.
- Feist-Burkhardt, S. & Wille, W., 1992- Jurassic palynology in southwest Germany - state of the art. Cahiers de Micropaléontologie Nouvelle Série 7: 14-156.
- Ghasemi- Nejad, E., Sabbaghiyan, H. & Mosaddegh, H., 2012- Palaeobiogeographic implications of late Bajocian-late Callovian (Middle Jurassic) dinoflagellate cysts from the Central Alborz Mountains, northern Iran. Journal of Asian Earth Sciences 43: 1-10.
- GORIN, G. E. & STEFFAN, D., 1991- Organic facies as a tool for recording eustatic variation in marine fine-grained carbonates-example of the Berriasian stratotype at Berrias (Ardeche, SE France). Palaeogeography, Palaeoclimatology, Palaeoecology 85: 303-320.
- Poulsen, N. E., 1996- Dinoflagellate cysts from marine Jurassic deposits of Denmark and Poland. American Association of Stratigraphic Palynologists Contributions Series 31, 227 p.
- Poulsen, N. E., 1998- Upper Bajocian to Callovian (Jurassic) dinoflagellate cysts from central Poland. Acta Geologica Polonica 48 (3): 237-245.
- Prauss, M., 1989- Dinozysten-stratigraphie und palynofazies im Oberen Lias und Dogger von NW-Deutschland. Palaeontographica Abteilung B 214(1-4): 1-124.
- Riding, J. B., 1982- Jurassic dinocysts from the Warboys Borehole, Cambridgeshire, England. Journal of Micropalaeontology 1(1): 13-18.
- Riding, J. B., 1987- Dinoflagellate cyst stratigraphy of the Nettleton Bottom Borehole (Jurassic: Hettangian to Kimmeridgian), Lincolnshire, England. Proceedings of the Yorkshire Geological Society 46: 231-266.
- Riding, J. B. & Thomas, J. E., 1997- Marine palynomorphs from the Staffin Bay and Staffin Shale formations (Middle-Upper Jurassic) of the Trotternish Peninsula, NW Skye. Scottish Journal of Geology 33- 59-74.
- Riding, J. B., Fedorova, V. A. & Ilyina, V. I., 1999- Jurassic and lowermost Cretaceous dinoflagellate cyst biostratigraphy of the Russian Platform and Northern Siberia, Russia, American Association of Stratigraphic Palynologists Contributions Series 36, 179 pp.
- Riding, J. B. & Hubbard, R. N. L. B., 1999- Jurassic (Toarcian to Kimmeridgian) dinoflagellate cysts and paleoclimates. Palynology 23: 15-30.
- Riding, J. B., Quattrochio, M. E. & Martinez, M. A., 2011- Mid Jurassic (late Callovian) dinoflagellate cysts from the Lotena Formation of the Neuquén Basin, Argentina and their palaeogeographical significance. Review of Palaeobotany and Palynology 163 (3-4): 227-236.
- Schrank, E., 2005- Dinoflagellate cysts and associated aquatic palynomorphs from the Tendaguru Beds (Upper Jurassic-Lower Cretaceous) of southeast Tanzania. Palynology 29(1): 49-85.
- Smelror, M., 1988- Late Bathonian to Early Oxfordian dinoflagellate cyst stratigraphy of Jameson Land and Milne Land, East Greenland. Grønlands Geologiske Undersøgelse Rapport 137: 135-159.
- Smelror, M., 1988- Bathonian to early Oxfordian dinoflagellate cysts and acritarchs from Kong Karls Land, Svalbard. Review of Palaeobotany and Palynology 56: 275-304.
- Smelror, M. & Below, R., 1992- Dinoflagellate biostratigraphy of the Toarcian to Lower Oxfordian (Jurassic) of the Barents Sea region. In: Vorren, T.O., Bergsager, E., Dahl- Stammes, Ø.A., Holter, E., Johansen, B., Lie, E., Lund, T.B. (Eds.), Arctic geology and petroleum potential. Norwegian Petroleum Society (NPF), Special Publication 2, 495- 513 (Elsevier, Amsterdam).
- Traverse, A., 1998- Palaeopalynology. 1st edition, London, Unwin Hyman, Boston 600pp.
- Traverse, A., 2007- Paleopalynology, Topics in Geobiology second edition. Springer, Dordrecht 813 pp.
- Tyson, R. V., 1995- Sedimentary Organic Matter: Organic Facies and Palynofacies. Chapman and Hall. London 615 pp.
- Van der Zwan, C. J., 1990- Palynostratigraphy and palynofacies reconstruction of the Upper Jurassic to lower most Cretaceous of the Draugen Field, offshore Mid Norway. Review of Palaeobotany and Palynology 62: 157-186.
- Vozzhennikova, T. F., 1965- Introduction to the study of peridinian algae: Boston spa, U. K. National Library for Science and Technology 231 pp.
- Wall, D., Dale, B., Lohmann, G. P. & Smith, W. K., 1977- The environmental and climate distribution of dinoflagellate cysts in modern marine sediments from regions in the North and South Atlantic Oceans and adjacent seas. Marine Micropaleontology 2: 121-200.
- Waveren, I. & Visscher, H., 1994- Analysis of the composition and selective preservation of organic matter in surfical deep-sea Sediment from a high-productivity area (Bandasa, Indonesia). Palaeogeography, Palaeoclimatology & Palaeoecology 112: 85-111.
- Wheeler, J. W. & Sarjent, W. A. S., 1990- Jurassic and Cretaceous palynomorphs from the central Alborz Mountain, Iran: Their significance in biostratigraphy and palaeogeography. Modern Geology 14: 267-374.

Dinoflagellate Studies and Paleoenvironment of Dalichai Formation in East Part of Binaloud Sedimentary Basin

M. Allameh^{1*} & S. Saadati Jafarabadi²

¹ Assistant Professor, Department of Geology, Mashhad Branch, Islamic Azad University, Mashhad, Iran

² M. Sc. Student, Department of Geology, Mashhad Branch, Islamic Azad University, Mashhad, Iran

Received: 2012 April 15

Accepted: 2012 October 21

Abstract

The Dalichai Formation is among marine deposits in Jurassic period that has a geographic expansion in north of Iran. In order to palynological studies in eastern part of the Binaloud Mountains an outcrop of this formation, in the Bar village was selected. The thickness in Bar village section is 255 meters includes dark gray shales. The study of 112 slides of 28 samples taken from this formation showed that the most of the samples contain palynomorphs specifically dinoflagellates. 53 species belonging to 27 genera of dinoflagellates were identified. According to dinoflagellates, a middle Jurassic age was determined for the Dalichai Formation in the Bar village section. Based on the study of three main groups of phytoclasts, marine palynomorphs and amorphous organic matters and result of the statistical studies of different factors, sedimentary environment of the Dalichai Formation in studied section was open marine basin with shallow and low oxygen condition.

Keywords: Palynomorph, Dinoflagellate, Dalichai Formation, Binaloud, Bar Village

For Persian Version see pages 147 to 156

*Corresponding author: M. Allameh; E-mail: allameh0277@mshdiau.ac.ir